

верхней границе спектра электронов (см. рис. 3). В спектрах отчетливо наблюдаются пики полного поглощения (ПП), одиночного вылета (ОВ) и двойного вылета (ДВ) для указанных уровней. Видно, что уровень фоновой подложки для спектра, полученного на разрезном микротроне, достаточен для наблюдения состояний с ширинами $\Gamma_0 > 0,1$ эВ (состояние 2,98 МэВ).

В целом проведенная серия измерений показала работоспособность созданной установки и возможность наблюдения ядерной резонансной флуоресценции при сравнительно малых дозах облучения мишени.

ЛИТЕРАТУРА

[1] Алимов А. С. и др. Разрезной микротрон непрерывного действия НИИЯФ МГУ: Препринт НИИЯФ МГУ, № 2 88—012/33. М., 1988. [2] Ишханов Б. С., Калитонов И. М., Можеев В. И. Деп. ВИНТИ N 5902-B89. М., 1989. [3] Voldanel R. et al.//Phys. Rev. 1984. C29. P. 409.

Поступила в редакцию
16.11.92

ВЕСТН. МОСК. УН-ТА. СЕР. 3, ФИЗИКА. АСТРОНОМИЯ. 1993. Т. 34, № 5

РАДИОФИЗИКА

УДК 530.014

КВАНТОВОЕ НЕВОЗМУЩАЮЩЕЕ ИЗМЕРЕНИЕ ЧИСЛА ФОТОНОВ И ЭНЕРГИИ НУЛЕВЫХ КОЛЕБАНИЙ В СХЕМЕ КВАДРАТИЧНОГО РАССЕЯНИЯ ЭЛЕКТРОНА

С. П. Вятчанин, А. Б. Мацко

(кафедра молекулярной физики и физических измерений)

Показано, что возможно квантовое невозмущающее измерение энергии фотонов и нулевых колебаний моды диэлектрического резонатора на основе эффекта квадратичного рассеяния электронов, пролетающих вдоль резонатора со скоростью, близкой к фазовой скорости волны в резонаторе.

Как известно, для реализации квантового невозмущающего измерения энергии (КНИЭ) необходимо иметь прибор, гамильтониан связи которого с исследуемым объектом был бы пропорционален *квадрату* обобщенной координаты объекта [1], что может быть достигнуто, например, с помощью пондеромоторного измерителя [1] или путем использования вещества с квадратичной зависимостью диэлектрической проницаемости от электрического поля [2, 3]. Существует предложение [4] использовать для КНИЭ солитоны в экситонных полупроводниках (CdS или GaAs). В любом случае экспериментатор сталкивается с необходимостью иметь большую нелинейность и малую диссипацию. Такого сочетания этих двух величин для реализации КНИЭ найти пока не удалось.

Другая возможность для экспериментальной реализации КНИЭ — использовать квадратичное по полю рассеяние электрона (КРЭ) на фотоне [5—7]: пролетающий вдоль диэлектрического волновода без дополнительной оболочки электрон колеблется в поперечном направлении и из-за неоднородности поля снаружи получает поперечный импульс (сила Миллера [8]), который пропорционален *энергии* фотона

(или фотонов) в волноводе. При синхронизме (скорость электрона близка к фазовой скорости волны) эффект значительно увеличивается и становится возможным КНИЭ пролетающих одиночных фотонов (в инфракрасном диапазоне).

В данной работе теоретически проанализировано КРЭ на фотонах выбранной моды диэлектрического резонатора и показано, что при определенных условиях синхронизма возможно КНИЭ таких «стоячих» фотонов. Кроме того, показана возможность регистрации КРЭ на *нулевых колебаниях* моды. Это связано с тем, что при синхронизме взаимодействие электрона с модой резонатора может значительно увеличиваться и меняться по знаку, тогда как взаимодействие с пространственными модами поля практически не изменяется, поскольку скорость их равна скорости света c в вакууме и больше фазовой скорости мод в резонаторе в 1,5—3 раза.

На рис. 1 приведена схема предлагаемого эксперимента. Для увеличения времени взаимодействия t_{int} резонатор помещается в постоянное магнитное поле (его направление совпадает с осью резонатора): электрон долго вращается вокруг резонатора с ларморовской частотой ω , медленно двигаясь вдоль оси Z . Края резонатора завалены, чтобы обеспечить плавный влет и вылет электрона. Фактически в этой схеме осуществляется нелинейное взаимодействие двух осцилляторов — вращающегося электрона и моды резонатора. Эффект КРЭ приведет к дополнительному отталкиванию (или притяжению) электрона от резонатора, пропорциональному энергии $\hbar\omega_v(a^\dagger a + 1/2)$ в моде (\hbar — постоянная Планка, ω_v и ν — частота и номер моды, a^\dagger и a — операторы рождения и уничтожения). Это скажется на изменении частоты вращения $\Delta\omega_s$ электрона, а следовательно, и фазы $\varphi_s = \Delta\omega_s t_{\text{int}}$, причем последнее предлагается регистрировать по изменению угла вылета электрона.

1. Взаимодействие электрона с полем резонатора

Пусть резонатор представляет собой свернутый в кольцо плоский диэлектрический волновод (рис. 1), ширина которого L достаточно велика, так что поле в нем практически не зависит от координаты z . При малой толщине $H \approx c/4\omega_v$ частота моды ω_v характеризуется только азимутальным числом ν (радиальное равно 1). Будем рассматривать взаимодействие нерелятивистского электрона с TE_ν модой резонатора, бегущей по кругу в плоскости XY ($\sim \exp(-i\omega_v t + i\nu\varphi)$). Взаимодействие с TH -модами значительно слабее, и им пренебрегаем. Гамильтониан записываем в виде

$$\mathcal{H} = (\mathbf{P} - (e/c)\mathbf{A})^2/2m + \Sigma \hbar\omega_v (a_\nu^\dagger a_\nu + 1/2), \quad (1)$$

$$\mathbf{A} = \mathbf{A}(t, \mathbf{r}_\perp) = \mathbf{A}_0 + \Sigma \mathbf{A}_\nu(\omega_\nu, \mathbf{r}_\perp) a_\nu(t) + \text{э.с.},$$

где e , m , \mathbf{P} — заряд, масса и обобщенный импульс электрона, \mathbf{A} — вектор-потенциал, \mathbf{r}_\perp — поперечная координата электрона, \mathbf{A}_0 описывает постоянное магнитное поле, $\mathbf{A}_\nu(\omega_\nu, \mathbf{r}_\perp)$ — распределение вектор-потенциала моды TE_ν (см., напр., [9]):

$$\mathbf{A}_\nu(\omega_\nu, \mathbf{r}_\perp) = \mathbf{F}_\nu(\omega_\nu, \mathbf{r}_\perp)/F_0, \quad (2)$$

$$\mathbf{F}_\nu(\omega_\nu, \mathbf{r}_\perp) = \frac{eic}{\omega_\nu \epsilon(\mathbf{r}_\perp)} [\mathbf{e}_z \times \nabla_\perp f_\nu(\omega_\nu, \mathbf{r}_\perp)],$$

$\epsilon(\mathbf{r}_\perp)$ — диэлектрическая проницаемость, равная ϵ_0 внутри и 1 снаружи резонатора, ∇_\perp — поперечная составляющая оператора ∇ , \mathbf{e}_z —

единичный вектор вдоль оси Z . Нормировочный коэффициент F_0 определяется выражением

$$F_0^2 = \frac{\omega_v}{4\pi^3 \hbar c^2} \int \varepsilon |F|^2 dV, \quad (3)$$

где интегрирование ведется по всему объему. Функция $f_v(\omega_v, \mathbf{r}_\perp)$ удовлетворяет характеристическому уравнению $\Delta f_v + \varepsilon(\omega_v/c)^2 f_v = 0$. В цилиндрических координатах ρ и φ имеем $f_v = \psi_v(x) \exp(i\nu\varphi)$, где $x = \omega_v \rho/c$.

Будем считать, что электрон взаимодействует только с одной выбранной модой. Из гамильтониана получаем уравнения движения:

$$\partial_t^2 \rho - \rho (\partial_t \varphi)^2 = \frac{e}{mc} a \left[ix \partial_t \varphi \cdot \left(1 - \frac{1}{x} \partial_x \right) + \frac{i\nu\omega}{x} \right] f_v + \text{э. с.} + \rho \omega \partial_t \varphi, \quad (4)$$

$$\frac{1}{\rho} \partial_t (\rho^2 \partial_t \varphi) = \frac{e}{mc} a \left(\omega \partial_x - i \partial_t x + i \frac{\partial_t x}{x} \partial_x \right) f_v + \text{э. с.} - \omega \partial_t \rho, \quad (5)$$

$$\partial_t a + i\omega_v a = \frac{ie}{\hbar c} A_v^* \partial_t \mathbf{r}_\perp. \quad (6)$$

Как обычно, представляем координаты электрона в виде $x = x_0 + x_f + x_s$, $\varphi = -\omega t + \varphi_f + \varphi_s$, где первые члены описывают вращение электрона в постоянном магнитном поле, вторые — быстрые колебания в поле резонатора, а третьи — медленные движения. Подставляя первые в (4), (5), получаем решение для быстрых колебаний:

$$x_f = -\frac{ie\omega_v^2}{mc^2(\Omega^2 - \omega^2)} \left(\Gamma \psi - \frac{\omega}{\Omega} \psi' \right) a \exp\{-i\Omega t\} + \text{э. с.}, \quad (7)$$

$$x_0 \varphi_f = \frac{e\omega_v^2}{mc^2(\Omega^2 - \omega^2)} \left(\Gamma \frac{\omega}{\Omega} \psi - \psi' \right) a \exp\{-i\Omega t\} + \text{э. с.},$$

где $\Omega = \omega_v - \nu\omega$ — частота вынужденных колебаний электрона, $\Gamma = \nu/x_0 - x_0\omega/\omega_v$, штрих означает производную по полному аргументу. Подставляя быстрые колебания (7) в правые части (4), (5) и усредняя по времени, получаем уравнения для медленных движений:

$$\partial_t^2 x_s + x_0 \omega \partial_t \varphi_s = F_{\text{slow}} (2a + a + 1) + F_{\text{cher}}, \quad (8)$$

$$x_0 \partial_t^2 \varphi_s - \omega_0 \partial_t x_s = 0,$$

где

$$F_{\text{slow}} = \frac{r_{\text{cl}} \omega_v^4 \Gamma}{mc^2(\Omega^2 - \omega^2)} \left[\frac{\Gamma \nu \omega}{x_0 \Omega} \psi^2 + \frac{\omega}{\Omega} (\psi')^2 - \left(\frac{\nu}{x_0} + \Gamma \right) \psi \psi' \right], \quad (9)$$

$r_{\text{cl}} = e^2/mc^2$ — классический радиус электрона, F_{cher} — паразитная черенковская сила, ее величину обсудим позже. Решение системы (8) дает (без учета F_{cher}):

$$\Delta\omega_s = \partial_t \varphi_s \simeq F_{\text{slow}} (2a + a + 1) / (x_0 \omega). \quad (10)$$

Это изменение частоты вращения электрона следует регистрировать при КНИЭ. Заметим, что в зависимости от знака $(\Omega - \omega)$ может быть как отталкивание, так и притяжение электрона — это соответствует различным знакам $\Delta\omega_s$.

Для численных оценок положим $\omega_v = 4 \cdot 10^{14} \text{ с}^{-1}$ (диапазон ближнего инфракрасного света, длина волны в вакууме $\lambda \simeq 5 \text{ мкм}$), $\nu = 10^4$, $\omega \simeq 4 \cdot 10^{10} \text{ с}^{-1}$, $\alpha \simeq (\Omega/\omega - 1) \simeq 4 \cdot 10^{-3}$, $\varepsilon_0 \simeq 7$ (халькогенидные стекла —

при этом потребуется относительно невысокое ускоряющее напряжение для электронов: 30—50 кэВ), средняя скорость электрона $V_0 \approx 10^{10}$ см/с, продольная составляющая скорости $V_z \approx 10^4$ см/с, $\Gamma \approx \epsilon_0^{1/2} - \epsilon_0^{-1/2} \approx 2,5$, $L=0,1$ см. При толщине ленты резонатора $H \sim 2\lambda/\pi$ (см. рис. 1) получим оценку для ψ : $\psi \approx \sqrt{\hbar\omega_v/\epsilon_0 v L}$.

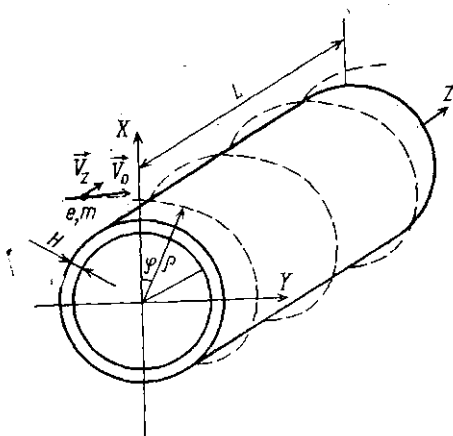


Рис. 1. Схема эксперимента

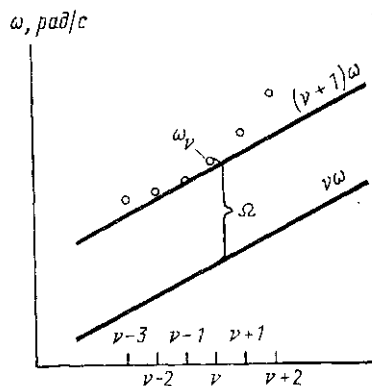


Рис. 2. Зависимость частоты моды резонатора ω_v от азимутального числа ν

Тогда полезный эффект набега фазы вращения электрона равен ($t_{\text{int}}=L/V_z$)

$$\Delta\Phi_s = \Delta\omega_s (L/V_z) (2a+a+1) \approx \frac{\hbar\omega_v}{mc^2} \frac{r_{c1}\omega_v}{V_z} \frac{\epsilon_0 v}{2\alpha} \approx 0,08 (a+a+1/2). \quad (11)$$

Приведенное рассмотрение сделано в дипольном приближении: амплитуда колебаний электрона меньше масштаба спадания поля снаружи ($x_f \ll 1$), т. е. (при тех же численных параметрах)

$$\frac{\epsilon_0 \omega_v^2 \Gamma \psi}{mc^2 (\Omega^2 - \omega^2)} \approx \frac{ev^2}{2mc^2 \alpha_v} \sqrt{\hbar\omega/L} \approx 0,1 \ll 1. \quad (12)$$

Паразитная постоянная сила F_{cher} связана с черенковским самодействием электрона. На квантовом языке это есть отталкивание (или притяжение) электрона виртуальными нерезонансными фотонами, им же порожденными. Подставляя в (6) невозмущенное движение электрона ($x=x_0$, $\varphi=-\omega t$), получаем, что оператор a имеет нерезонансную составляющую $a=a_0+a_{\text{cher}}$, $a_{\text{cher}}=-i(\epsilon x_0 \omega / \hbar \omega_v \Omega) \psi' \exp\{-i\nu \omega t\}$, которая при подстановке в уравнения (4), (5) дает величину F_{cher} :

$$F_{\text{cher}} = \frac{r_{c1} x_0 \omega_v \Omega \Gamma}{\hbar \Omega} \psi \psi'. \quad (13)$$

Сравнивая (9) и (12), замечаем, что F_{slow} резонансно возрастает при $\Omega \approx \omega$ (т. е. $\omega_v \approx (\nu+1)\omega$), тогда как F_{cher} — при $\Omega \approx 0$ (т. е. $\omega_v \approx \nu\omega$). Чтобы выполнялось $F_{\text{cher}} \ll F_{\text{slow}}$, надо так подобрать зависимость ω_v от ν , чтобы $\Omega \approx \omega$ на рабочей и соседних частотах резонатора. Если зависимости $\omega_v(\nu)$, $\nu\omega$, и $(\nu+1)\omega$ такие, как на рис. 2, то это условие выполняется и черенковское рассеяние мало (при тех же параметрах):

$$\frac{F_{\text{slow}}}{F_{\text{cher}}} \approx \frac{\hbar \omega_v}{mc^2} \frac{v_e^{3/2}}{\alpha} \approx 30. \quad (14)$$

Примерно такая зависимость ω_v должна быть для рассматриваемого резонатора. Изменяя ω (с помощью постоянного магнитного поля), можно близко подойти к условию резонанса и обеспечить $\alpha_v = (\Omega(v)/\omega - 1) \ll 1$. При этом электрон будет взаимодействовать практически только с одной рабочей модой, если одновременно выполняется условие

$$\alpha_v \ll \alpha_{v+1}, \alpha_{v-1}. \quad (15)$$

Из рис. 2 видно, что это возможно. Однако слишком уменьшать величину α_v нельзя, ибо требуется, чтобы $\alpha_v \omega t_{\text{int}} \gg 1$ (в противном случае вращение электрона получит сдвиг по фазе, линейный по полю, что неприемлемо для КНИЭ).

Воздействие электрона на резонатор приводит не только к черенковскому механизму, но и к сдвигу частоты ω_v резонатора на величину ($\omega \approx \Omega$, $\Gamma \approx v/x_0 - x_0/v$, $v \gg 1$)

$$\Delta_v = - \frac{r_{\text{cl}} \omega_v \omega}{\hbar (\Omega^2 - \omega^2)} (\Gamma \psi - \psi')^2, \quad (16)$$

которая при тех же параметрах достаточно мала: $\Delta_v/\omega_v \approx 2 \cdot 10^{-6}$.

2. Схема измерения

Для обнаружения величина $\Delta\varphi_s$ должна быть больше собственной неопределенности фазы электрона. Если осциллятор, соответствующий вращающемуся электрону, находится в когерентном состоянии, то

$$\Delta\varphi_{\text{coh}} \approx \frac{1}{V_0} \sqrt{\frac{\hbar \omega}{2m}} \approx 1,4 \cdot 10^{-5}. \quad (17)$$

Кроме того, дополнительным источником ошибки измерения фазы является неопределенность скорости ΔV_z , которая при $\Delta V_z/V_z \approx 10^{-7}$ равна

$$\Delta\varphi_z \approx \omega t_{\text{int}} \Delta V_z/V_z \approx 4 \cdot 10^{-2}. \quad (18)$$

Сравнивая (11), (17), (18), видим, что можно измерить число фотонов n в выбранной моде с относительной ошибкой $\Delta n/(n+1/2) \approx \Delta\varphi_z/\Delta\varphi_s \approx 0,5$. Довольно высокие требования к «продольной» монохроматичности (ΔV_z) являются техническими, формально возможно $\Delta V_z \rightarrow 0$ (при этом неопределенность $\Delta z \rightarrow \infty$, но это не влияет на ошибку измерения). В этом случае $\Delta n/(n+1/2) \approx \Delta\varphi_{\text{coh}}/\Delta\varphi_s \approx 10^{-4}$.

При измерении числа фотонов возмущается фаза колебаний в резонаторе из-за неопределенности координаты электрона (а следовательно, и частоты (16)) в соответствии с соотношением $\Delta n \Delta\varphi \approx 1/2$ (при $\Delta V_z \rightarrow 0$).

Ошибка $\Delta n/(n+1/2)$ может быть уменьшена в \sqrt{N} раз (а возмущение $\Delta\varphi$ увеличено во столько же раз) при наблюдении рассеяния N электронов.

При отсутствии квантов в резонаторе электрон будет рассеиваться на *нулевых колебаниях* моды. Это рассеяние может быть обнаружено по резонансной зависимости его величины от магнитного поля (ω в (11)).

В заключение отметим, что самостоятельный интерес может представлять регистрация черенковского рассеяния на виртуальных фонах, которое будет преобладать при $\Omega \rightarrow 0$.

ЛИТЕРАТУРА

- [1] Брагинский В. Б., Воронцов Ю. И., Халили Ф. Я. // ЖЭТФ. 1977. 73. С. 1340. [2] Брагинский В. Б., Вятчанин С. П. // ДАН СССР. 1981. 259. С. 570; 1982. 264. С. 1136. [3] Imoto M., Haus H. A., Yamamoto Y. // Phys. Rev. 1985. A32. P. 2287. [4] Watanabe K., Nakano H., Honold A., Yamamoto Y. // Phys. Rev. Lett. 1989. 62. P. 2257. [5] Braginsky V. B., Vyatchanin S. P. // Phys. Lett. 1988. 132A. P. 206. [6] Брагинский В. Б., Вятчанин С. П. // ДАН СССР. 1989. 307. С. 96. [7] Вятчанин С. П. // Вестн. Моск. ун-та. Физ. Астрон. 1990. 31, № 5. С. 41. [8] Гапонов А. В., Миллер М. А. // ЖЭТФ. 1958. 34. С. 241. [9] Снайдерс А., Лав Дж. Теория оптических волноводов. М., 1987. Гл. 30.

Поступила в редакцию
21.09.92

ВЕСТН. МОСК. УН-ТА. СЕР. 3, ФИЗИКА. АСТРОНОМИЯ. 1993. Т. 34, № 5

УДК 537.87:621.396.677.7

МАТЕМАТИЧЕСКОЕ МОДЕЛИРОВАНИЕ ЭЛЕКТРОМАГНИТНОГО ИЗЛУЧЕНИЯ ИЗ РУПОРА

С. И. Абгалдаев, В. П. Моденов
(кафедра математики)

Рассматривается эффективный численно-аналитический метод определения характеристик излучения из нерегулярного рупора по заданному распределению поверхностного импеданса на боковых стенках и по заданному неоднородному заполнению. Приводятся численные результаты, свидетельствующие о возможности управления электромагнитным излучением. Алгоритм основан на неполном методе Галеркина с полуобращением в граничном условии.

Рассматривается электродинамическая система, представляющая собой плоский полубесконечный металлический волновод, завершённый рупором с нерегулярными стенками и неоднородным (полупроводниково-диэлектрическим) заполнением.

Цель работы — выяснить, возможно ли путем изменения геометрической формы стенок рупора, поверхностного импеданса, а также свойств фоточувствительного полупроводника (например, кремния) управлять основными характеристиками электромагнитного поля, излучаемого из открытого конца отрезка нерегулярного волновода.

Математическая постановка внутренне-внешней краевой задачи заключается в нахождении решения уравнения Гельмгольца

$$\Delta U + k^2 \epsilon(x, z) U = 0, \quad (1)$$

которое удовлетворяет однородному граничному условию на металлических поверхностях волновода (рис. 1):

$$U = 0 \left(\frac{\partial U}{\partial x} = 0 \right); \quad z < 0, \quad (2)$$

импедансным граничным условиям на боковой поверхности рупора: